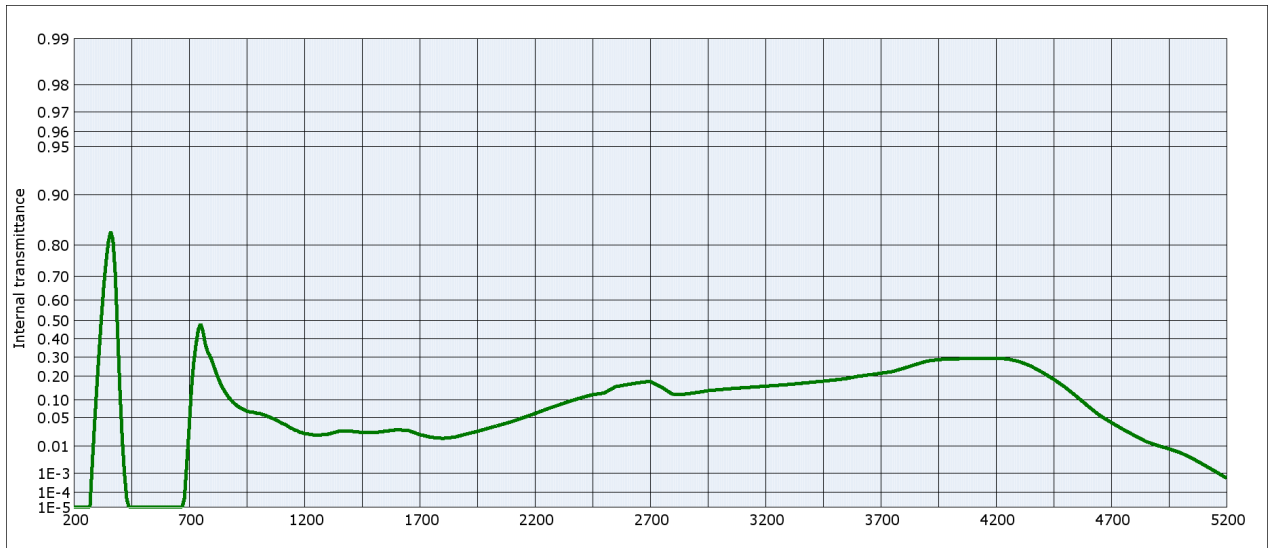


UG1

SCHOTT



Internal transmittance τ_i at reference thickness $d = 1 \text{ mm}$ The internal transmittance values, tabulated and graphically represented, are reference values only											
λ [nm]	τ_i	λ [nm]	τ_i	λ [nm]	τ_i	λ [nm]	τ_i	λ [nm]	τ_i	λ [nm]	τ_i
200	$< 10^{-5}$	500	$< 10^{-5}$	800	0.277	1100	$3.9 \cdot 10^{-2}$	2200	$6.0 \cdot 10^{-2}$	3700	0.215
210	$< 10^{-5}$	510	$< 10^{-5}$	810	0.242	1110	$3.7 \cdot 10^{-2}$	2250	$7.2 \cdot 10^{-2}$	3750	0.223
220	$< 10^{-5}$	520	$< 10^{-5}$	820	0.209	1120	$3.5 \cdot 10^{-2}$	2300	$8.3 \cdot 10^{-2}$	3800	0.240
230	$< 10^{-5}$	530	$< 10^{-5}$	830	0.181	1130	$3.3 \cdot 10^{-2}$	2350	$9.6 \cdot 10^{-2}$	3850	0.259
240	$< 10^{-5}$	540	$< 10^{-5}$	840	0.158	1140	$3.0 \cdot 10^{-2}$	2400	0.108	3900	0.277
250	$< 10^{-5}$	550	$< 10^{-5}$	850	0.140	1150	$2.9 \cdot 10^{-2}$	2450	0.120	3950	0.286
260	$< 10^{-5}$	560	$< 10^{-5}$	860	0.125	1160	$2.7 \cdot 10^{-2}$	2500	0.126	4000	0.289
270	$< 10^{-5}$	570	$< 10^{-5}$	870	0.112	1170	$2.6 \cdot 10^{-2}$	2550	0.152	4050	0.291
280	$2.4 \cdot 10^{-3}$	580	$< 10^{-5}$	880	0.102	1180	$2.4 \cdot 10^{-2}$	2600	0.162	4100	0.293
290	$3.7 \cdot 10^{-2}$	590	$< 10^{-5}$	890	$9.3 \cdot 10^{-2}$	1190	$2.3 \cdot 10^{-2}$	2650	0.170	4150	0.293
300	0.155	600	$< 10^{-5}$	900	$8.7 \cdot 10^{-2}$	1200	$2.2 \cdot 10^{-2}$	2700	0.176	4200	0.293
310	0.335	610	$< 10^{-5}$	910	$8.1 \cdot 10^{-2}$	1250	$2.0 \cdot 10^{-2}$	2750	0.150	4250	0.289
320	0.519	620	$< 10^{-5}$	920	$7.6 \cdot 10^{-2}$	1300	$2.1 \cdot 10^{-2}$	2800	0.120	4300	0.276
330	0.659	630	$< 10^{-5}$	930	$7.3 \cdot 10^{-2}$	1350	$2.5 \cdot 10^{-2}$	2850	0.122	4350	0.252
340	0.751	640	$< 10^{-5}$	940	$6.9 \cdot 10^{-2}$	1400	$2.6 \cdot 10^{-2}$	2900	0.128	4400	0.220
350	0.807	650	$< 10^{-5}$	950	$6.6 \cdot 10^{-2}$	1450	$2.4 \cdot 10^{-2}$	2950	0.135	4450	0.186
360	0.833	660	$< 10^{-5}$	960	$6.5 \cdot 10^{-2}$	1500	$2.3 \cdot 10^{-2}$	3000	0.140	4500	0.150
370	0.812	670	$< 10^{-5}$	970	$6.3 \cdot 10^{-2}$	1550	$2.5 \cdot 10^{-2}$	3050	0.144	4550	0.113
380	0.706	680	$4.4 \cdot 10^{-5}$	980	$6.3 \cdot 10^{-2}$	1600	$2.7 \cdot 10^{-2}$	3100	0.148	4600	$8.0 \cdot 10^{-2}$
390	0.438	690	$2.5 \cdot 10^{-3}$	990	$6.1 \cdot 10^{-2}$	1650	$2.7 \cdot 10^{-2}$	3150	0.151	4650	$5.5 \cdot 10^{-2}$
400	0.138	700	$2.8 \cdot 10^{-2}$	1000	$6.0 \cdot 10^{-2}$	1700	$2.1 \cdot 10^{-2}$	3200	0.155	4700	$4.0 \cdot 10^{-2}$
410	$1.7 \cdot 10^{-2}$	710	0.139	1010	$5.9 \cdot 10^{-2}$	1750	$1.8 \cdot 10^{-2}$	3250	0.158	4750	$2.8 \cdot 10^{-2}$
420	$8.6 \cdot 10^{-4}$	720	0.269	1020	$5.7 \cdot 10^{-2}$	1800	$1.7 \cdot 10^{-2}$	3300	0.162	4800	$2.0 \cdot 10^{-2}$
430	$3.5 \cdot 10^{-5}$	730	0.368	1030	$5.6 \cdot 10^{-2}$	1850	$1.8 \cdot 10^{-2}$	3350	0.167	4850	$1.4 \cdot 10^{-2}$
440	$< 10^{-5}$	740	0.450	1040	$5.3 \cdot 10^{-2}$	1900	$2.1 \cdot 10^{-2}$	3400	0.172	4900	$1.1 \cdot 10^{-2}$
450	$< 10^{-5}$	750	0.480	1050	$5.1 \cdot 10^{-2}$	1950	$2.5 \cdot 10^{-2}$	3450	0.177	4950	$8.4 \cdot 10^{-3}$
460	$< 10^{-5}$	760	0.442	1060	$4.9 \cdot 10^{-2}$	2000	$3.0 \cdot 10^{-2}$	3500	0.183	5000	$6.3 \cdot 10^{-3}$
470	$< 10^{-5}$	770	0.374	1070	$4.7 \cdot 10^{-2}$	2050	$3.5 \cdot 10^{-2}$	3550	0.189	5050	$4.1 \cdot 10^{-3}$
480	$< 10^{-5}$	780	0.330	1080	$4.5 \cdot 10^{-2}$	2100	$4.2 \cdot 10^{-2}$	3600	0.200	5100	$2.3 \cdot 10^{-3}$
490	$< 10^{-5}$	790	0.307	1090	$4.2 \cdot 10^{-2}$	2150	$5.0 \cdot 10^{-2}$	3650	0.207	5150	$1.2 \cdot 10^{-3}$